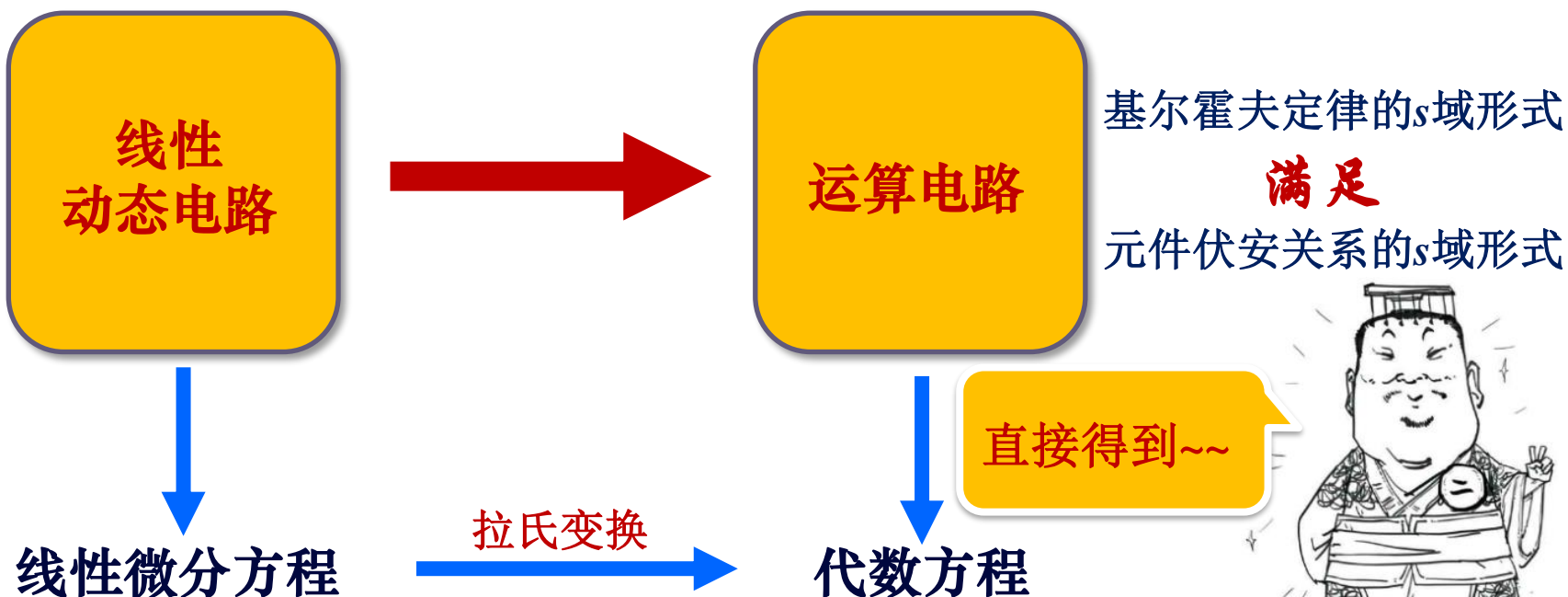


§ 14.2 运算电路

二、运算电路

2. 运算电路（电路的复频域模型）

1. 动态电路中的电压、电流用象函数表示：
2. 电压源的电压和电流源的电流用象函数表示（包括受控源）：
3. 电路元件分别用 s 域模型替换。



§ 14.2 运算电路

二、运算电路

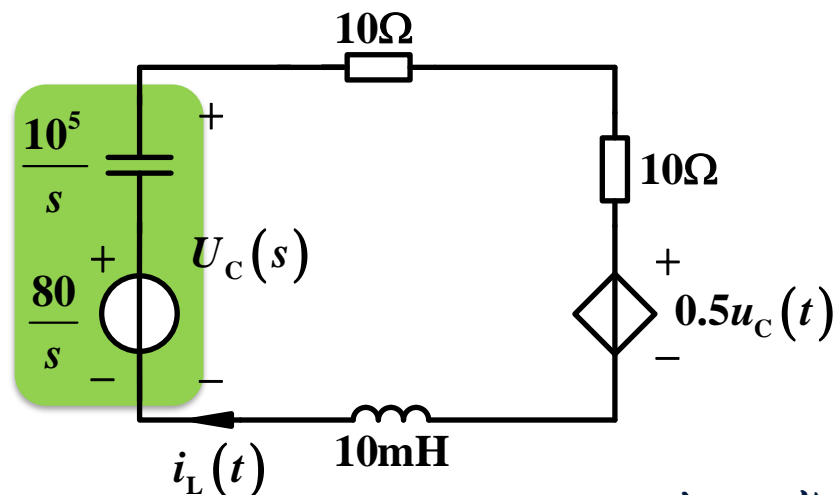
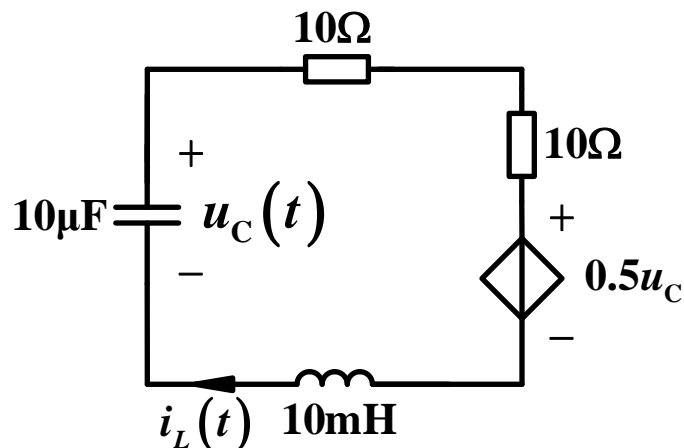
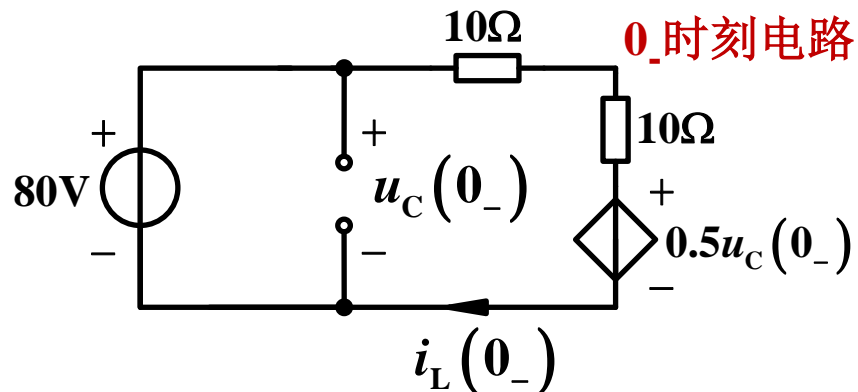
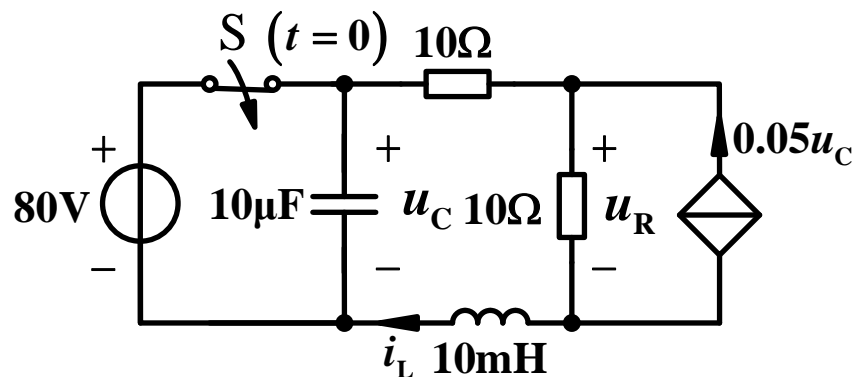
【例】电路原已达稳态，试画出该电路的运算电路。

解：

确定电容电压和电感电流**起始值**

$$u_C(0_-) = 80 \text{ V}$$

$$i_L(0_-) = \frac{80 - 0.5u_C(0_-)}{10 + 10} = 2 \text{ A}$$



§ 14.2 运算电路

二、运算电路

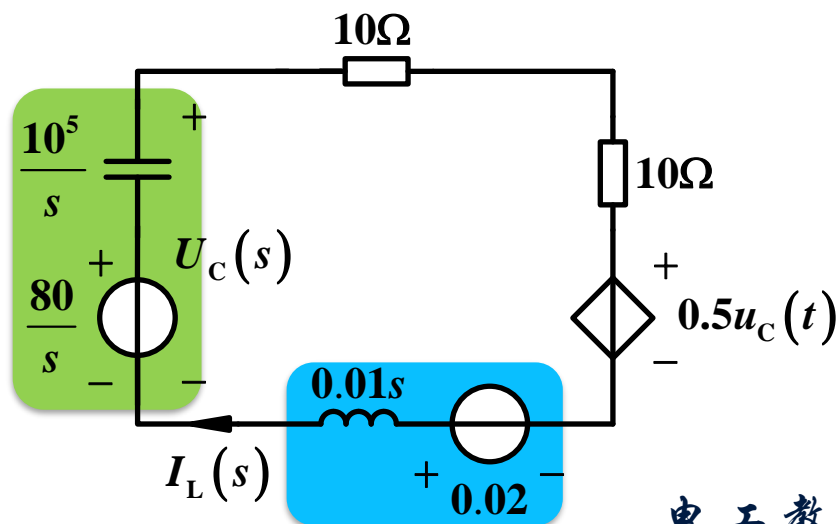
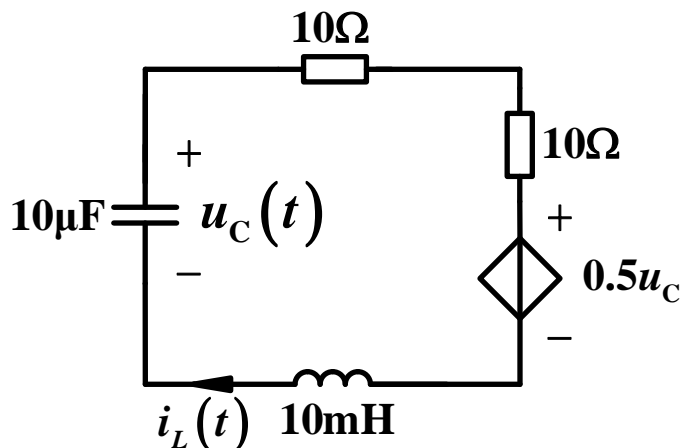
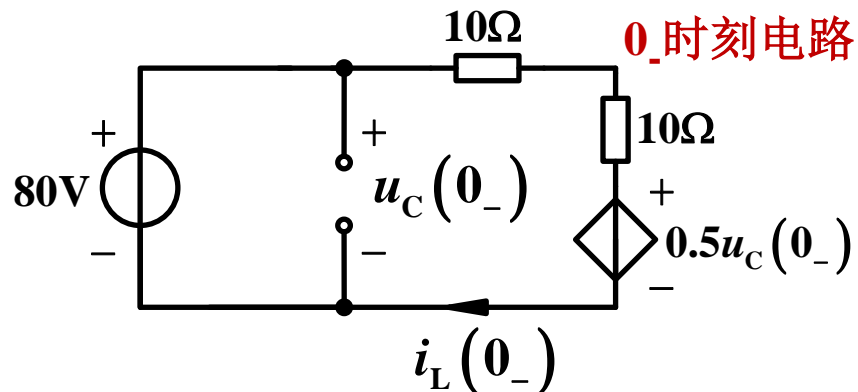
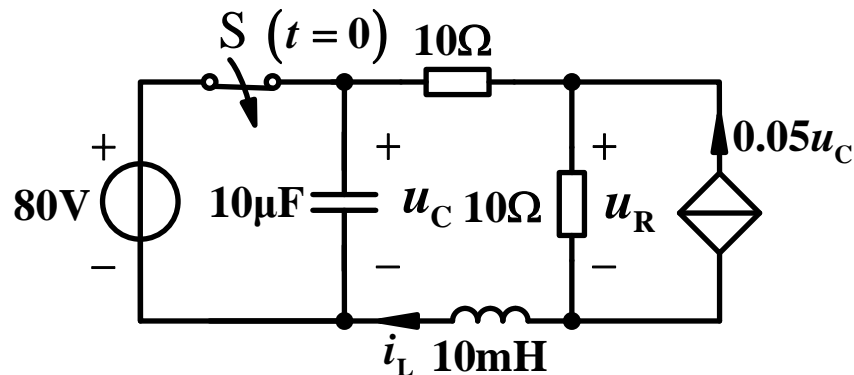
【例】电路原已达稳态，试画出该电路的运算电路。

解：

确定电容电压和电感电流**起始值**

$$u_C(0_-) = 80 \text{ V}$$

$$i_L(0_-) = \frac{80 - 0.5u_C(0_-)}{10 + 10} = 2 \text{ A}$$



§ 14.2 运算电路

二、运算电路

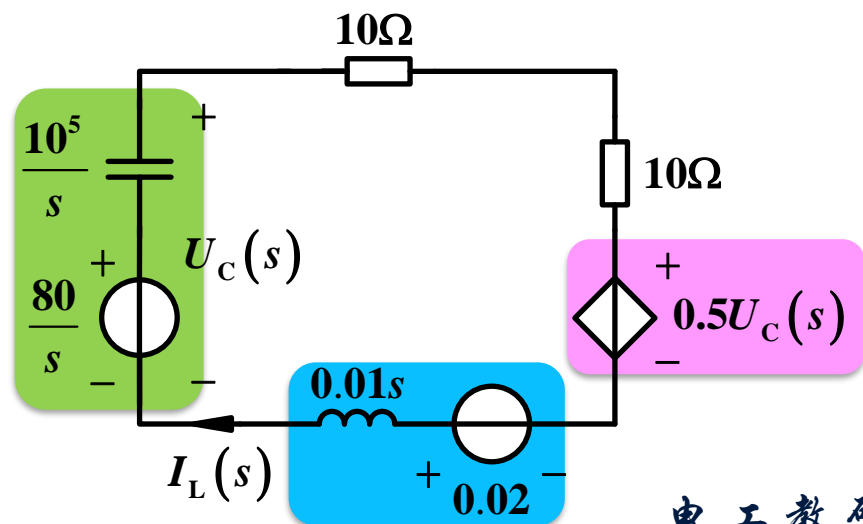
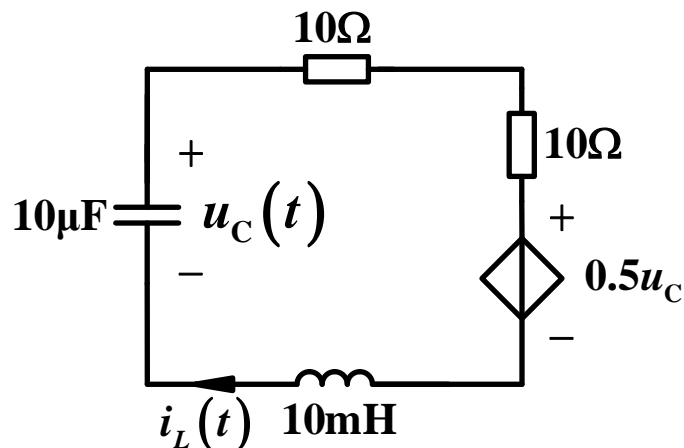
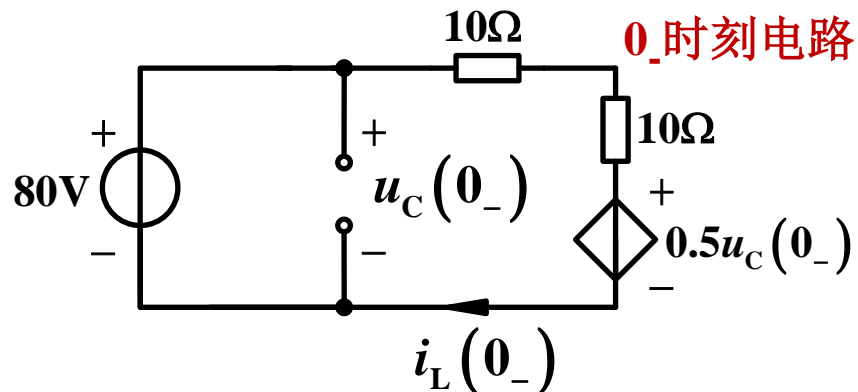
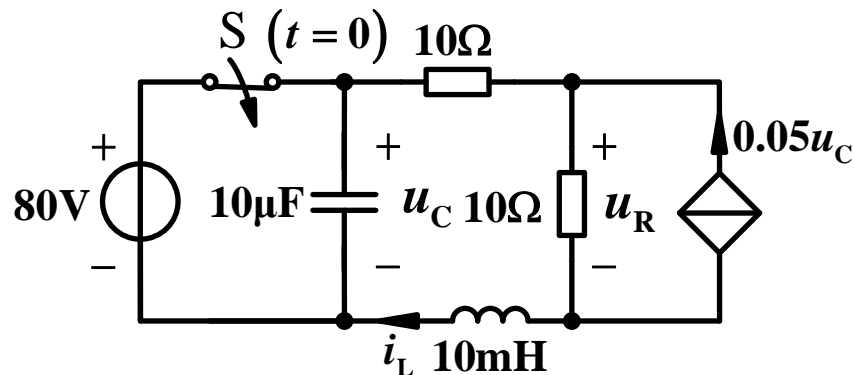
【例】电路原已达稳态，试画出该电路的运算电路。

解：

确定电容电压和电感电流**起始值**

$$u_C(0_-) = 80 \text{ V}$$

$$i_L(0_-) = \frac{80 - 0.5u_C(0_-)}{10 + 10} = 2 \text{ A}$$



§ 14.2 运算电路

二、运算电路

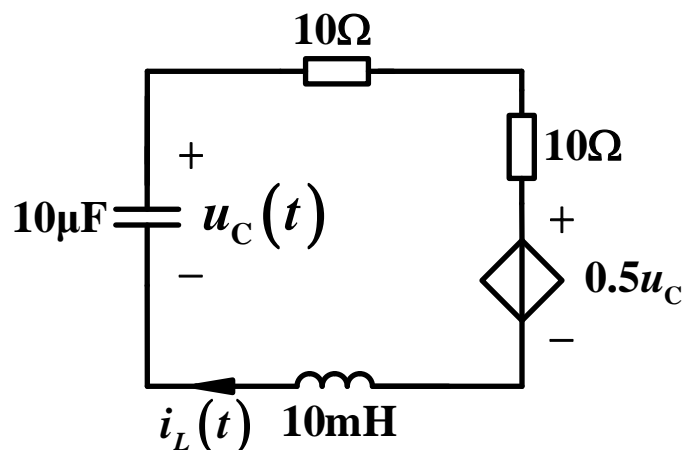
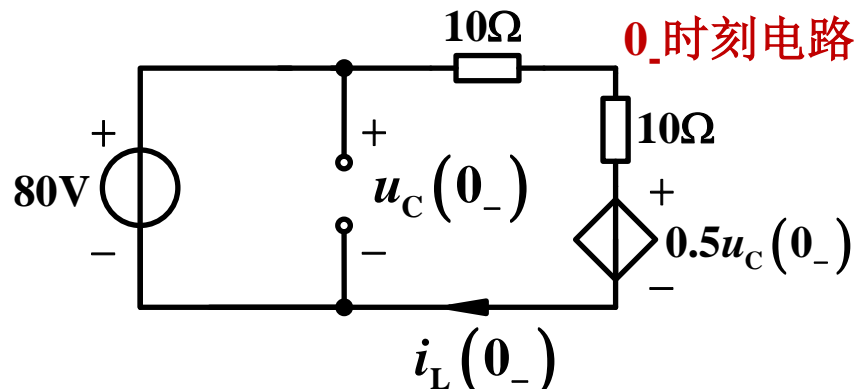
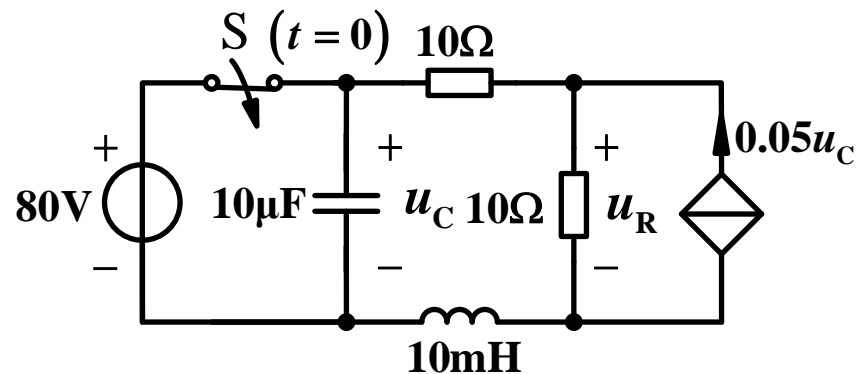
【例】电路原已达稳态，试画出该电路的运算电路。

解：

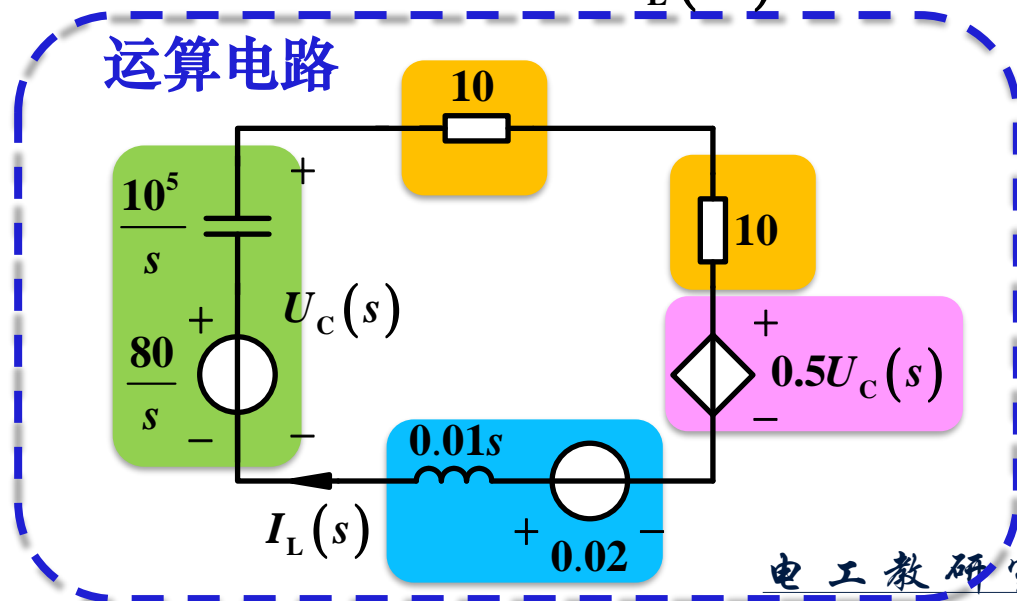
确定电容电压和电感电流**起始值**

$$u_C(0_-) = 80 \text{ V}$$

$$i_L(0_-) = \frac{80 - 0.5u_C(0_-)}{10 + 10} = 2 \text{ A}$$



运算电路



电路理论

Principles of Electric Circuits

第十四章 线性动态电路的 复频域分析

§ 14.3 线性动态电路的复频域分析法



§ 14.3 线性动态电路的复频域分析法

复频域分析法的一般步骤

- (1) 由换路前的电路计算 $u_C(0_-)$, $i_L(0_-)$;
- (2) 画运算电路;
注意运算阻抗的表示和附加电源的作用
- (3) 应用前面学习的各种计算方法求响应的象函数 ;
- (4) 将响应的象函数部分分式展开。
- (5) 通过拉氏反变换求得响应的原函数 (时域形式) 。

§ 14.3 线性动态电路的复频域分析法

【例】 电路原已达稳态，试用复频域分析法求解电流 $i(t)$ 。

解：（1）计算起始值

$$u_C(0_-) = 1V$$

$$i_L(0_-) = 0A$$

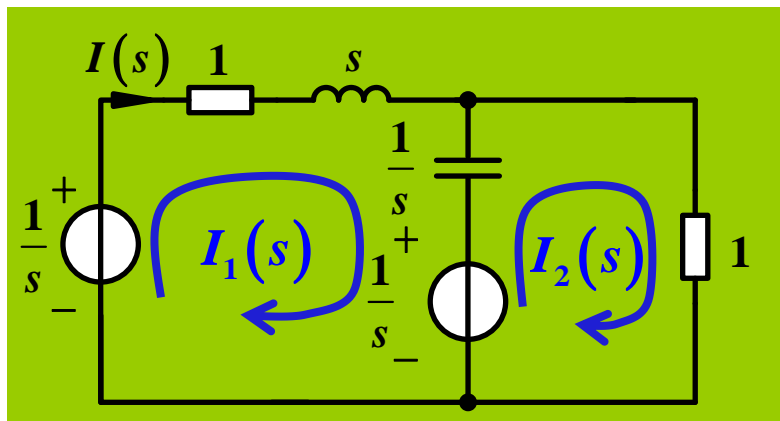
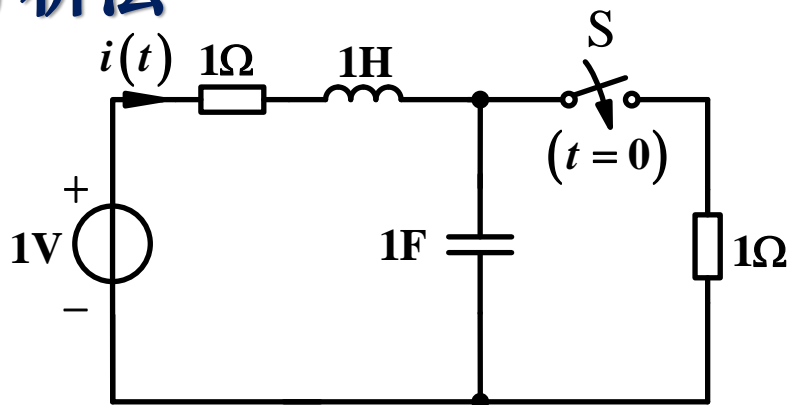
（2）画运算电路

$$sL = 1s$$

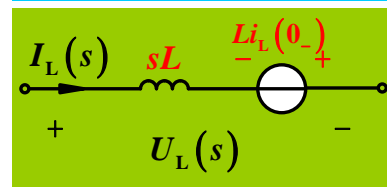
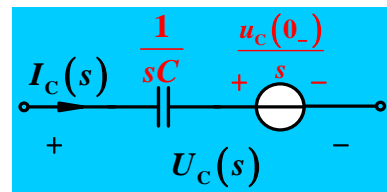
$$\frac{1}{sC} = \frac{1}{s \times 1} = \frac{1}{s}$$

（3）应用网孔电流法

$$\begin{cases} (1 + s + \frac{1}{s})I_1(s) - \frac{1}{s}I_2(s) = \frac{1}{s} - \frac{1}{s} = 0 \\ -\frac{1}{s}I_1(s) + (1 + \frac{1}{s})I_2(s) = \frac{1}{s} \end{cases}$$



运算电路

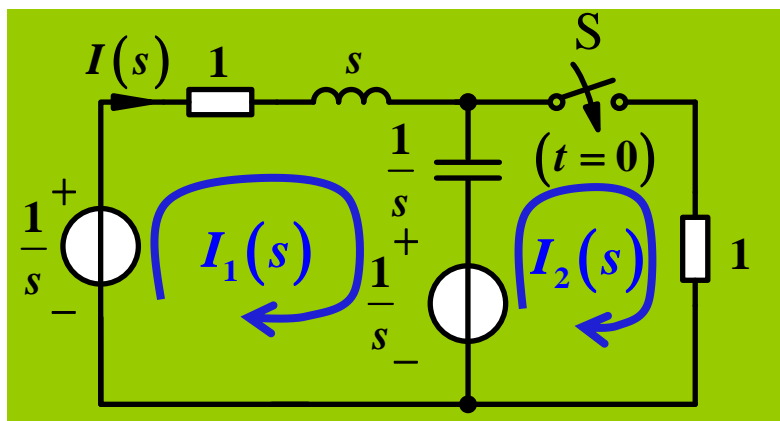
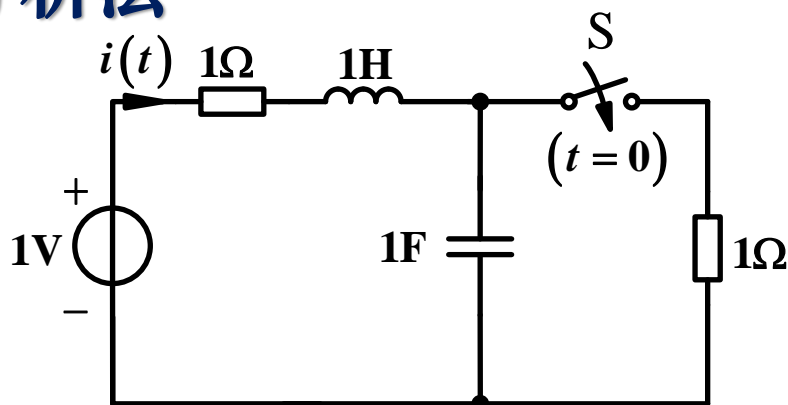


§ 13.1 拉普拉斯变换

二、常用函数的拉普拉斯变换

原函数	象函数	原函数	象函数
$\delta(t)$	1	$f(t)e^{-\alpha t}$	$F(s+\alpha)$
$\varepsilon(t)$	$\frac{1}{s}$	$e^{-\alpha t}$	$\frac{1}{s+\alpha}$
t	$\frac{1}{s^2}$	$te^{-\alpha t}$	$\frac{1}{(s+\alpha)^2}$
$\frac{1}{n!}t^n$	$\frac{1}{s^{n+1}}$	$\frac{1}{n!}t^n e^{-\alpha t}$	$\frac{1}{(s+\alpha)^{n+1}}$
$\sin \omega t$	$\frac{\omega}{s^2 + \omega^2}$	$e^{-\alpha t} \sin \omega t$	$\frac{\omega}{(s+\alpha)^2 + \omega^2}$
$\cos \omega t$	$\frac{s}{s^2 + \omega^2}$	$e^{-\alpha t} \cos \omega t$	$\frac{(s+\alpha)}{(s+\alpha)^2 + \omega^2}$

分析法



运算电路

解得 $I_1(s) = I(s) = \frac{1}{s(s^2 + 2s + 2)}$

(4) 拉氏反变换求原函数

$$I(s) = \frac{1}{s(s^2 + 2s + 2)} = \frac{1}{s[(s+1)^2 + 1^2]} = \frac{1}{2} \left(\frac{1}{s} - \frac{s+1}{(s+1)^2 + 1^2} - \frac{1}{(s+1)^2 + 1^2} \right)$$

拉氏反变换

$$i(t) = \frac{1}{2}(1 - e^{-t} \cos t - e^{-t} \sin t) \quad (t > 0)$$

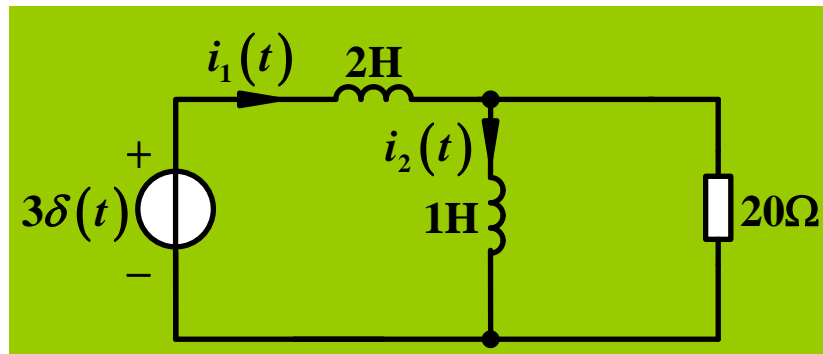
§ 14.3 线性动态电路的复频域分析法

【例】 电路原已达稳态，试求零状态响应 $i_1(t)$ 和 $i_2(t)$ 。

解：

分析

- (1) 电感电流会发生跃变，求解初始值复杂；
- (2) $t = \infty$ 时，电感 L_1 和 L_2 均短路，出现稳态环流，稳态值求解需借助磁链守恒或者其他方法。



应用时域解法求解太复杂了~~~

§ 14.3 线性动态电路的复频域分析法

【例】 电路原已达稳态，试求零状态响应 $i_1(t)$ 和 $i_2(t)$ 。

解：

(1) 求起始值

零状态 $\longrightarrow i_1(0_-) = i_2(0_-) = 0$

(2) 画运算电路

(3) 应用网孔电流法

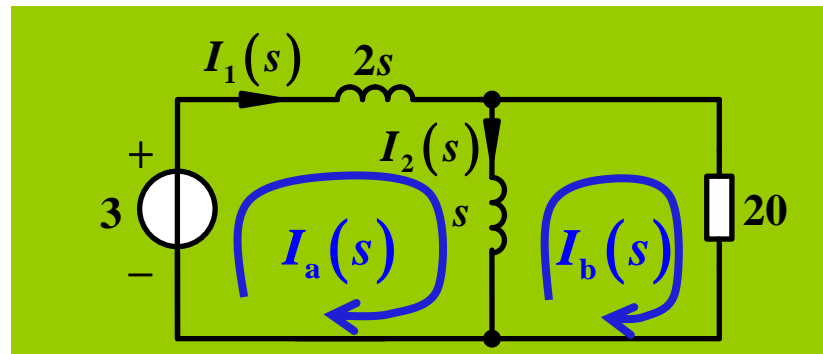
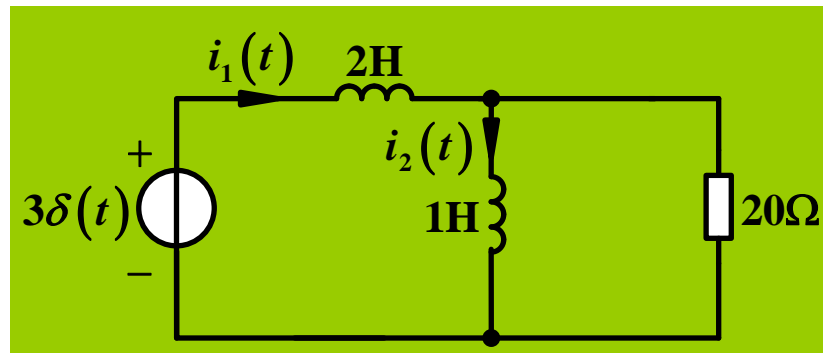
$$\begin{cases} (2s + s)I_a(s) - sI_b(s) = 3 \\ -sI_a(s) + (s + 20)I_b(s) = 0 \end{cases}$$

$$\text{解得} \begin{cases} I_a(s) = \frac{1.5s + 30}{s(s + 30)} = \frac{1}{s} + \frac{0.5}{s + 30} \\ I_b(s) = \frac{1.5}{s + 30} \end{cases}$$

拉氏
反变换

$$i_a(t) = 1 + 0.5e^{-30t} \text{ A} \quad (t > 0)$$

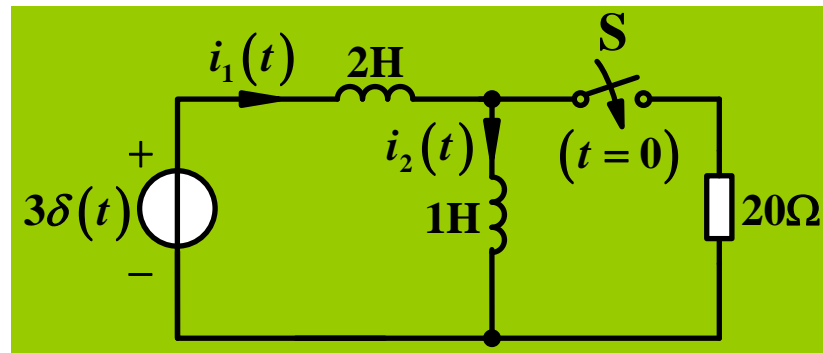
$$i_b(t) = 1.5e^{-30t} \text{ A} \quad (t > 0)$$



§ 14.3 线性动态电路的复频域分析法

【例】 电路原已达稳态，试求零状态响应 $i_1(t)$ 和 $i_2(t)$ 。

解：



$$i_1(t) = i_a(t) = 1 + 0.5e^{-30t} \text{ A} \quad (t > 0)$$

$$i_2(t) = i_a(t) - i_b(t) = 1 - e^{-30t} \text{ A} \quad (t > 0)$$

不论电路是否发生跃变，
不论电路是否存在稳态环流，
复频域分析法过程完全相同，无需特殊处理。
复频域分析法完胜啊~~~

Perfect!



§ 14.3 线性动态电路的复频域分析法

【例】 已知电压源电压 $u_s(t) = 20\cos 2t$ V，开关打开前电路已达稳态， $i_L(0_-) = 1$ A、 $u_C(0_-) = 20$ V，试求 $t \geq 0$ 时的 $i_L(t)$ 和 $u_C(t)$ 。

解：

正弦激励问题

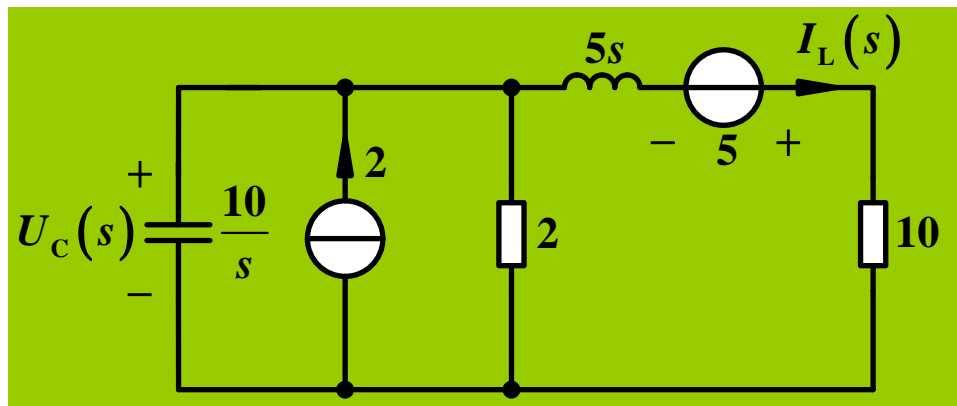
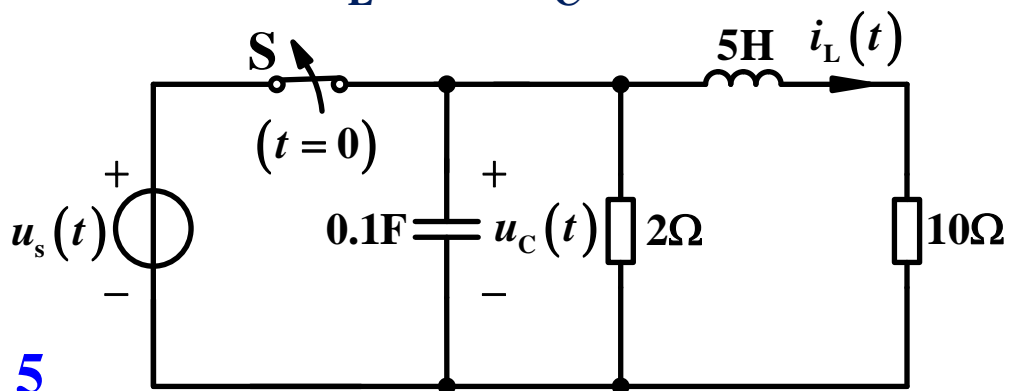
(1) 画运算电路

(2) 求象函数

$$\left(\frac{1}{2} + \frac{s}{10} + \frac{1}{10+5s}\right)U_C(s) = 2 - \frac{5}{10+5s}$$

$$U_C(s) = \frac{20s + 30}{s^2 + 7s + 12}$$

$$I_L(s) = \frac{U_C(s) + 5}{10 + 5s}$$



§ 14.3 线性动态电路的复频域分析法

【例】 已知电压源电压 $u_s(t) = 20\cos 2t$ V，开关打开前电路已达稳态， $i_L(0_-) = 1$ A、 $u_C(0_-) = 20$ V，试求 $t \geq 0$ 时的 $i_L(t)$ 和 $u_C(t)$ 。

解：

正弦激励问题

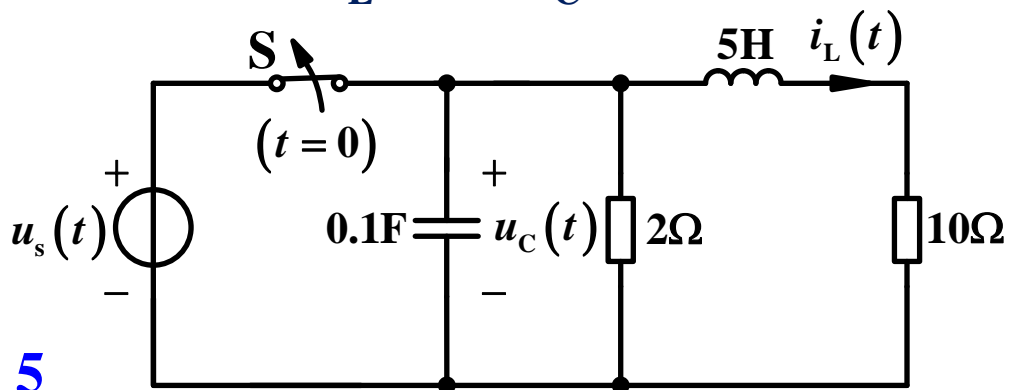
(1) 画运算电路

(2) 求象函数

$$\left(\frac{1}{2} + \frac{s}{10} + \frac{1}{10+5s}\right)U_C(s) = 2 - \frac{5}{10+5s}$$

$$U_C(s) = \frac{20s+30}{s^2+7s+12} = -\frac{30}{s+3} + \frac{50}{s+4}$$

$$I_L(s) = \frac{U_C(s)+5}{10+5s} = \frac{6}{s+3} + \frac{5}{s+4}$$



(3) 求时域响应

$$u_C(t) = -30e^{-3t} + 50e^{-4t} \text{ (V)} \quad (t \geq 0)$$

$$i_L(t) = 6e^{-3t} - 5e^{-4t} \text{ (A)} \quad (t \geq 0)$$

§ 14.3 线性动态电路的复频域分析法

【例】 已知电压源电压 $u_s(t) = 2[\varepsilon(t) - \varepsilon(t-1)]$ V, $i_L(0_-) = 2$ A、 $u_C(0_-) = 1$ V。
试求 $t \geq 0$ 时的电容电压 $u_C(t)$ 。

解:

(1) 画运算电路

(2) 求象函数

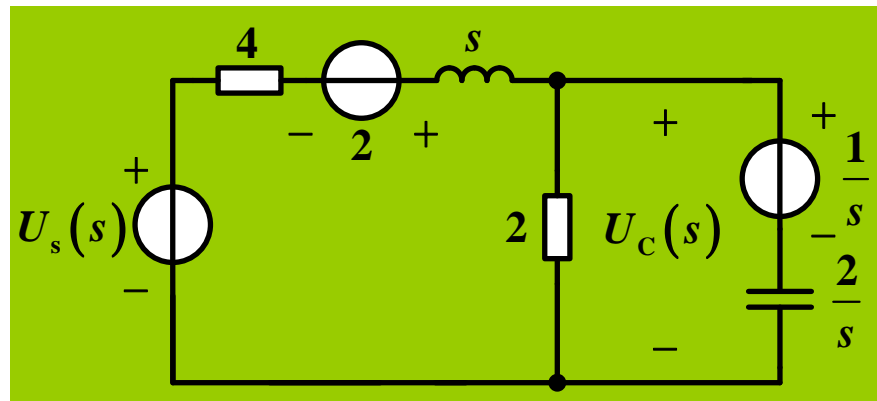
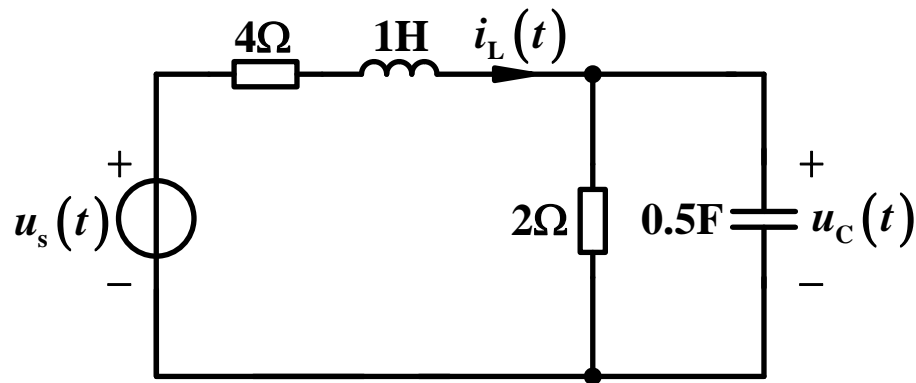
$$U_s(s) = 2 \left[\frac{1}{s} - \frac{1}{s} e^{-s} \right]$$

列写节点电压方程

$$\left(\frac{1}{s+4} + \frac{1}{2} + \frac{s}{2} \right) U_C(s) = \frac{U_s(s) + 2}{s+4} + \frac{1/s}{2/s}$$

$$U_C(s) = \frac{4/s + e^{-s} \cdot 4/s + s + 8}{(s+2)(s+3)}$$

$$= \frac{s^2 + 8s + 4}{s(s+2)(s+3)} - \frac{4}{s(s+2)(s+3)} e^{-s}$$



§ 14.3 线性动态电路的复频域分析法

【例】 已知电压源电压 $u_s(t) = 2[\varepsilon(t) - \varepsilon(t-1)]$ V, $i_L(0_-) = 2$ A、 $u_C(0_-) = 1$ V。
试求 $t \geq 0$ 时的电容电压 $u_C(t)$ 。

解:

$$U_C(s) = \frac{\frac{4}{s} + e^{-s} \cdot \frac{4}{s} + s + 8}{(s+2)(s+3)}$$

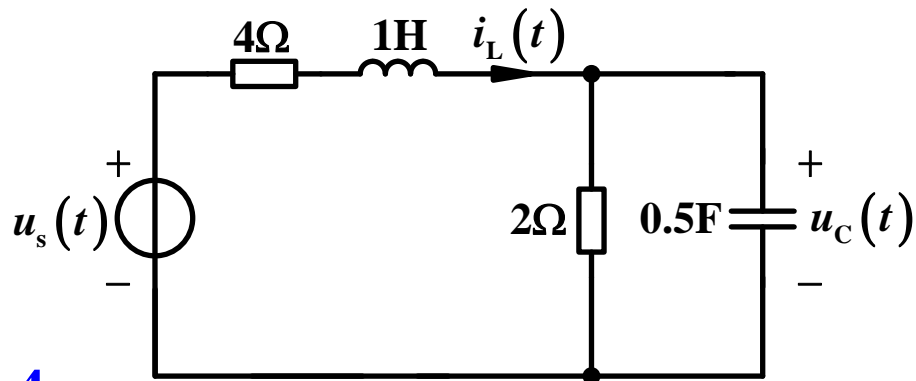
$$= \frac{s^2 + 8s + 4}{s(s+2)(s+3)} - \frac{4}{s(s+2)(s+3)} e^{-s}$$

$$= \frac{2/3}{s} + \frac{4}{s+2} - \frac{11/3}{s+3} - \left[\frac{2/3}{s} - \frac{2}{s+2} + \frac{4/3}{s+3} \right] e^{-s}$$

拉氏反变换

$$u_C(t) = \left(\frac{2}{3} + 4e^{-2t} - \frac{11}{3}e^{-3t} \right) \varepsilon(t)$$

$$- \left(\frac{2}{3} - 2e^{-2(t-1)} + \frac{4}{3}e^{-3(t-1)} \right) \varepsilon(t-1) (\text{V})$$



电路理论

Principles of Electric Circuits

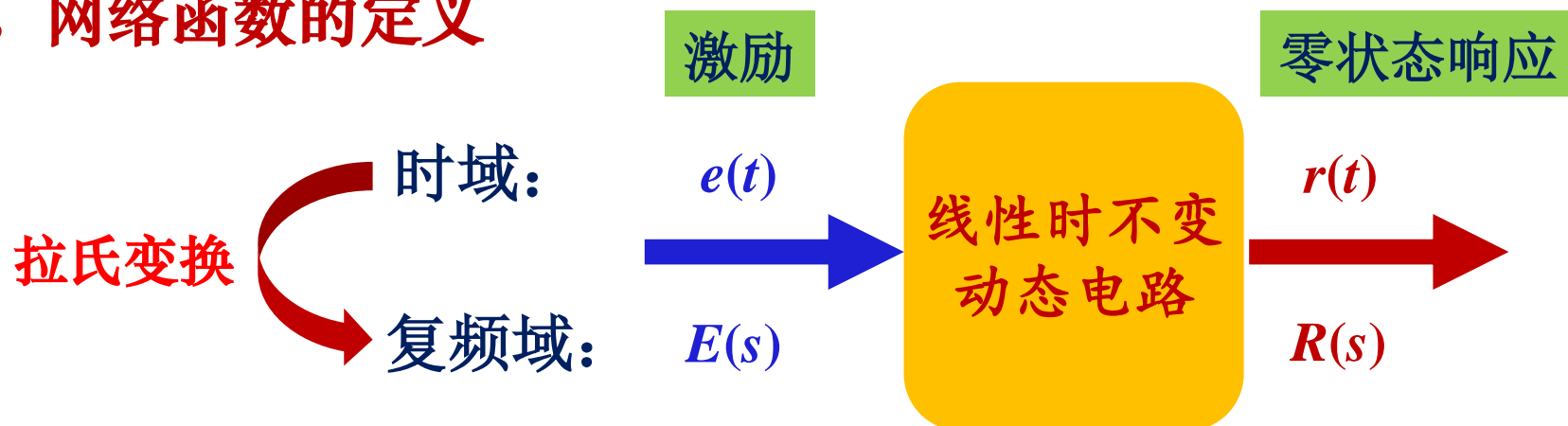
第十四章 线性动态电路的 复频域分析

§ 14.4 网络函数



§ 14.4 网络函数

一、网络函数的定义



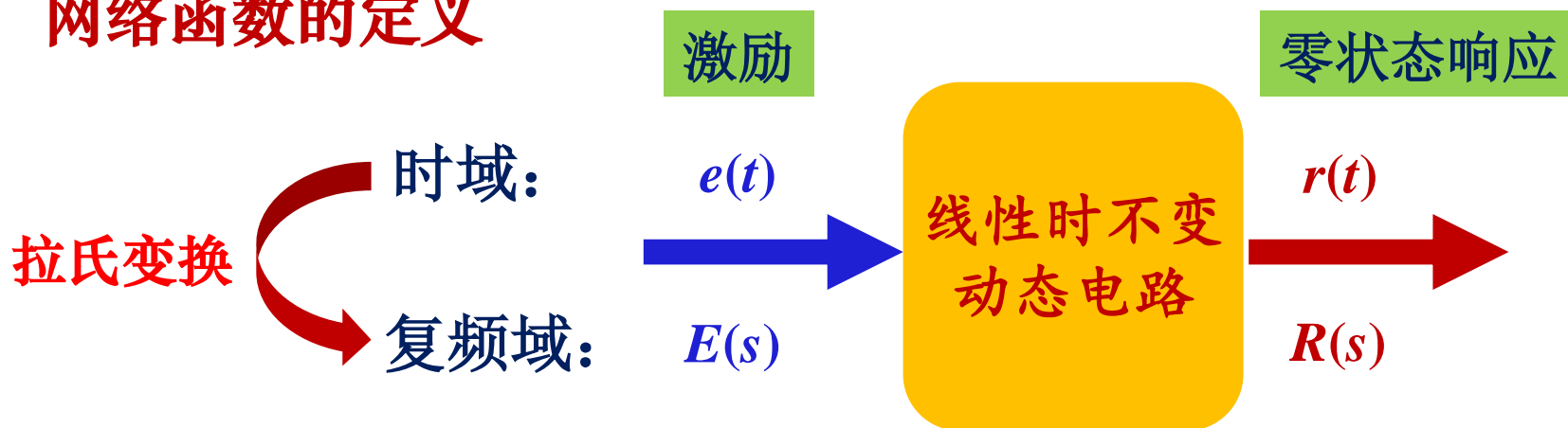
网络函数:
$$H(s) \stackrel{\text{def}}{=} \frac{\text{零状态响应的象函数}}{\text{激励的象函数}} = \frac{R(s)}{E(s)}$$

★ 说明

- (1) 由于激励 $E(s)$ 可以是**电压源或电流源**，响应 $R(s)$ 可以是**电压或电流**，故 s 域网络函数可以是驱动点阻抗(导纳)、转移阻抗(导纳)、电压转移函数或电流转移函数；
- (2) 网络函数 $H(s)$ 仅与电路的结构和原件参数有关，反映了电路的固有动态性能；

§ 14.4 网络函数

一、网络函数的定义



网络函数:
$$H(s) \stackrel{\text{def}}{=} \frac{\text{零状态响应的象函数}}{\text{激励的象函数}} = \frac{R(s)}{E(s)}$$

★ 说明

(3) 若 $E(s)=1$, 则 $R(s)=H(s)$, 即网络函数是电路的冲激响应 $h(t)$ 的象函数;

(4) 由网络函数求取任意激励的零状态响应。

$$H(s) = \frac{R(s)}{E(s)} \longrightarrow R(s) = H(s)E(s) \xrightarrow[\text{反变换}]{\text{拉氏}} r(t)$$

§ 14.4 网络函数

【例】求冲激响应 $u_C(t)$ 。

解：

(1) 画运算电路

冲激响应为零状态响应

$$u_C(0_-) = 0$$

(2) 求网络函数

$$H(s) = \frac{R(s)}{E(s)} = \frac{U_C(s)}{1} = \frac{\frac{1}{sC} \cdot R}{\frac{1}{sC} + R}$$

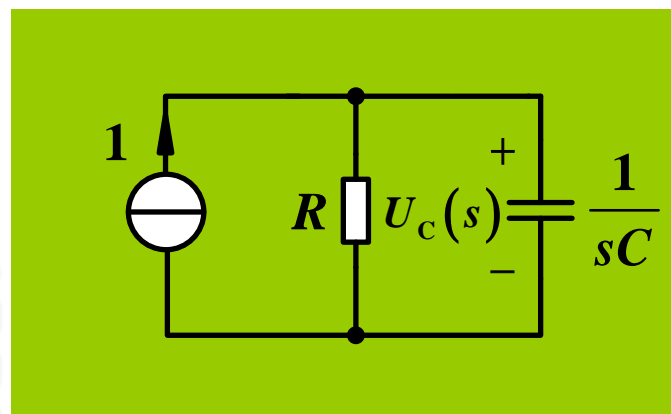
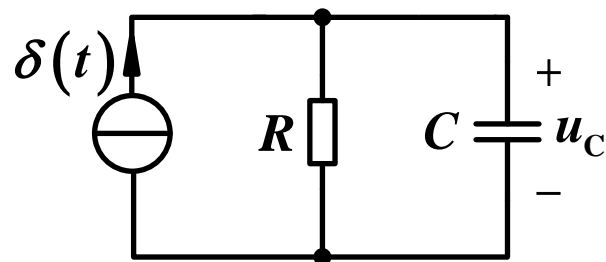
驱动点阻抗 $Z(s)$

$$= \frac{R}{sRC + 1} = \frac{1}{C} \cdot \frac{1}{s + \frac{1}{RC}}$$

拉氏反变换



$$h(t) = u_C(t) = \frac{1}{C} e^{-\frac{1}{RC}t} \varepsilon(t)$$



§ 14.4 网络函数

【例】求图示电路的转移阻抗函数 $Z_T(s) = \frac{U_o(s)}{I_s(s)}$ 。

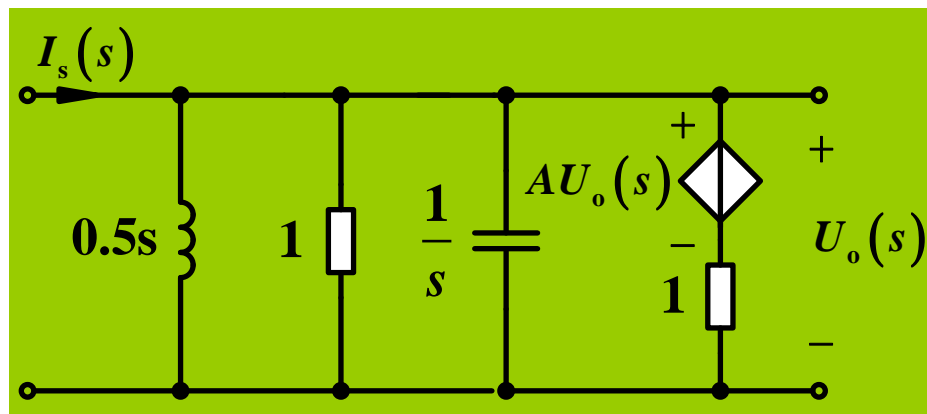
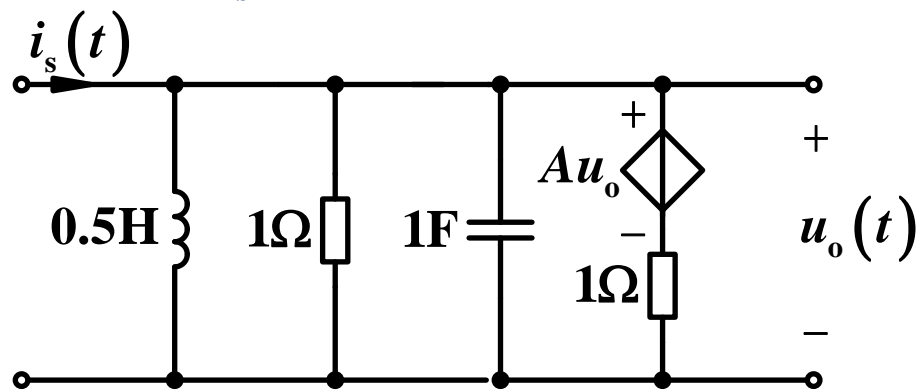
解：

画运算电路

由节点电压方程

$$\left(\frac{2}{s} + s + 2\right)U_o(s) = I_s(s) + AU_o(s)$$

$$\begin{aligned}\text{解之得: } Z_T(s) &= \frac{U_o(s)}{I_s(s)} \\ &= \frac{s}{s^2 + (s - A)s + 2}\end{aligned}$$



§ 14.4 网络函数

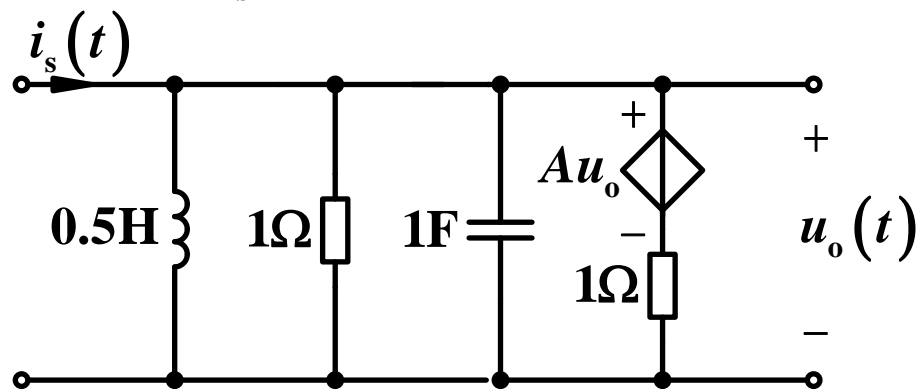
【例】求图示电路的转移阻抗函数 $Z_T(s) = \frac{U_o(s)}{I_s(s)}$ 。

解：

画运算电路

由节点电压方程

$$\left(\frac{2}{s} + s + 2\right)U_o(s) = I_s(s) + AU_o(s)$$



$$\text{解之得: } Z_T(s) = \frac{U_o(s)}{I_s(s)} = \frac{s}{s^2 + (s - A)s + 2}$$

电路动态特性
与A有关~~

$|s - A| > 2\sqrt{2}$ $Z_T(s)$ 分母 $s^2 + (s - A)s + 2 = 0$ 为两个不等实根

$|s - A| = 2\sqrt{2}$ $Z_T(s)$ 分母 $s^2 + (s - A)s + 2 = 0$ 为两个相等实根

$|s - A| < 2\sqrt{2}$ $Z_T(s)$ 分母 $s^2 + (s - A)s + 2 = 0$ 为一对共轭复根



§ 14.4 网络函数

二、网络函数的极零点图

$$H(s) = \frac{N(s)}{D(s)} = \frac{H_0(s - z_1)(s - z_2) \cdots (s - z_m)}{(s - p_1)(s - p_2) \cdots (s - p_n)}$$

$$= H_0 \frac{\prod_{i=1}^m (s - z_i)}{\prod_{j=1}^n (s - p_j)}$$

实数比例因子

当 $s = z_i$ 时, $H(s) = 0$, 称 z_i 为**零点**;

若 z_i 为重根, 称为**重零点**。

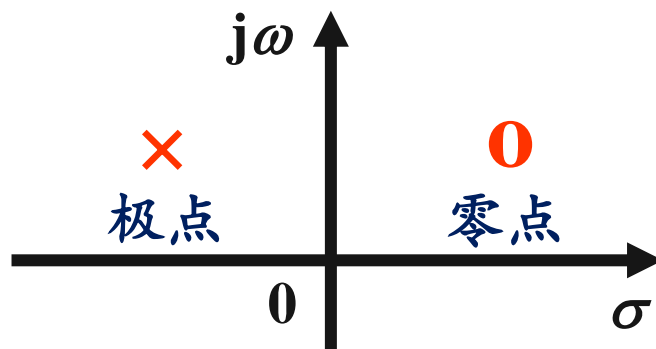
当 $s \rightarrow p_j$ 时, $H(s) \rightarrow \infty$, 称 p_j 为**极点**;

若 p_j 为重根, 称为**重极点**。

复平面 (s 平面)

$$s = \sigma + j\omega$$

标注 $\rightarrow z_i, p_j$ 为复数。



零极点分布图

§ 14.4 网络函数

【例】 试求：（1）电路的电压转移函数 $U_2(s) / U_1(s)$ 及其零极点图；
（2）电路的单位阶跃响应和冲激响应。

解：

画运算电路

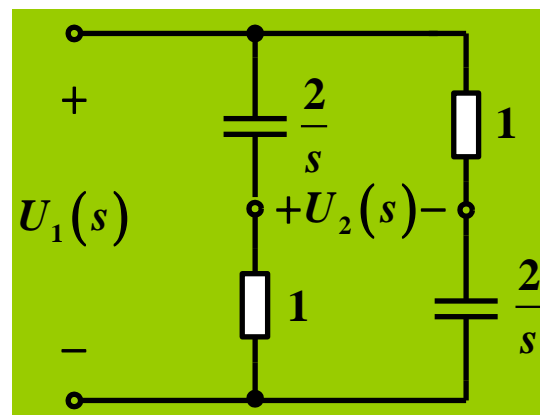
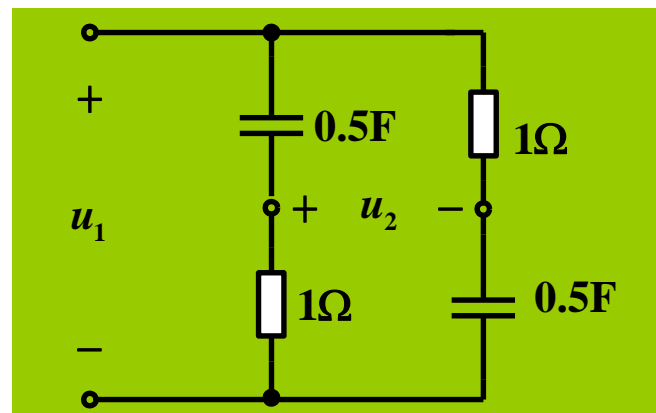
$$\begin{aligned} U_2(s) &= \frac{1}{1 + \frac{2}{s}} U_1(s) - \frac{\frac{2}{s}}{1 + \frac{2}{s}} U_1(s) \\ &= \frac{s-2}{s+2} U_1(s) \end{aligned}$$

电路的电压转移函数

$$H(s) = \frac{U_2(s)}{U_1(s)} = \frac{s-2}{s+2} = 1 - \frac{4}{s+2}$$

零点 $\longrightarrow z=2$

极点 $\longrightarrow p=-2$



§ 14.4 网络函数

【例】 试求：（1）电路的电压转移函数 $U_2(s) / U_1(s)$ 及其零极点图；
（2）电路的单位阶跃响应和冲激响应。

解：

画运算电路

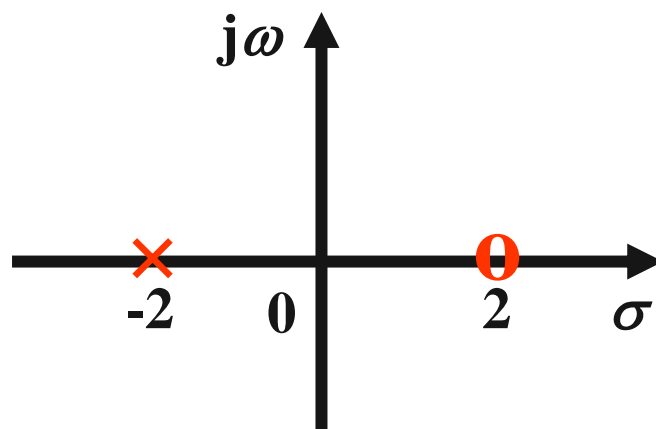
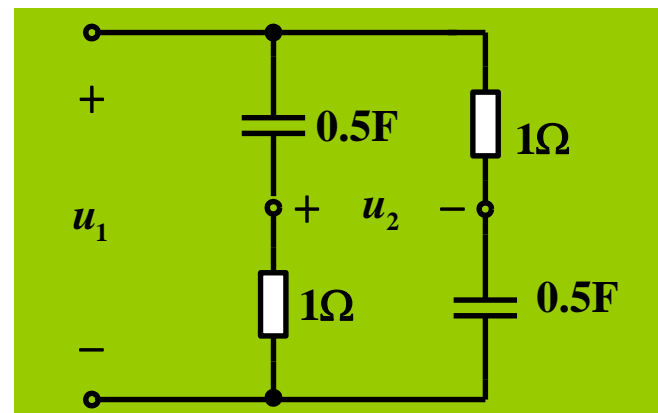
$$\begin{aligned} U_2(s) &= \frac{1}{1 + \frac{2}{s}} U_1(s) - \frac{\frac{2}{s}}{1 + \frac{2}{s}} U_1(s) \\ &= \frac{s-2}{s+2} U_1(s) \end{aligned}$$

电路的电压转移函数

$$H(s) = \frac{U_2(s)}{U_1(s)} = \frac{s-2}{s+2} = 1 - \frac{4}{s+2}$$

零点 $\rightarrow z=2$

极点 $\rightarrow p=-2$



§ 14.4 网络函数

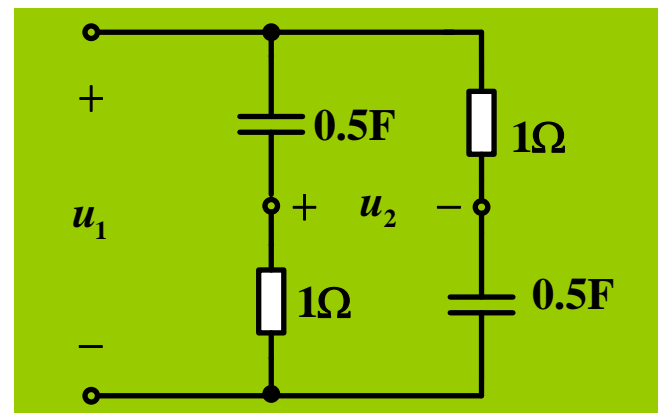
【例】 试求：（1）电路的电压转移函数 $U_2(s) / U_1(s)$ 及其零极点图；
（2）电路的单位阶跃响应和冲激响应。

解：

$$H(s) = \frac{U_2(s)}{U_1(s)} = \frac{s-2}{s+2} = 1 - \frac{4}{s+2}$$

电路的冲激响应

$$h(t) = \mathcal{L}^{-1}[H(s)] = \delta(t) - 4e^{-2t}\varepsilon(t) \text{ (V)}$$



电路单位阶跃响应的象函数

$$S(s) = H(s) \cdot \frac{1}{s} = \frac{s-2}{s(s+2)} = -\frac{1}{s} + \frac{2}{s+2}$$

电路单位阶跃响应

$$s(t) = \mathcal{L}^{-1}[S(s)] = \mathcal{L}^{-1}\left[-\frac{1}{s} + \frac{2}{s+2}\right] = -\varepsilon(t) + 2e^{-2t}\varepsilon(t) \text{ (V)}$$

§ 14.4 网络函数

三、极点分布与冲激响应的关系

把网络函数 $H(s)$ 按部分分式展开： $H(s) = \sum_{i=1}^n H_i(s)$

冲激响应： $h(t) = \mathcal{L}^{-1}[H(s)] = \mathcal{L}^{-1} \left[\sum_{i=1}^n H_i(s) \right]$



$$H_i(s) \begin{cases} \text{实数极点} & H_i(s) = \frac{A_i}{s + \alpha} \\ \text{共轭复数极点} & H_i(s) = \frac{A_i}{(s + \alpha)^2 + \omega^2} \\ \text{纯虚数极点} & H_i(s) = \frac{A_i}{s^2 + \omega^2} \end{cases}$$

与冲激响应的对应关系如何？



§ 14.4 网络函数

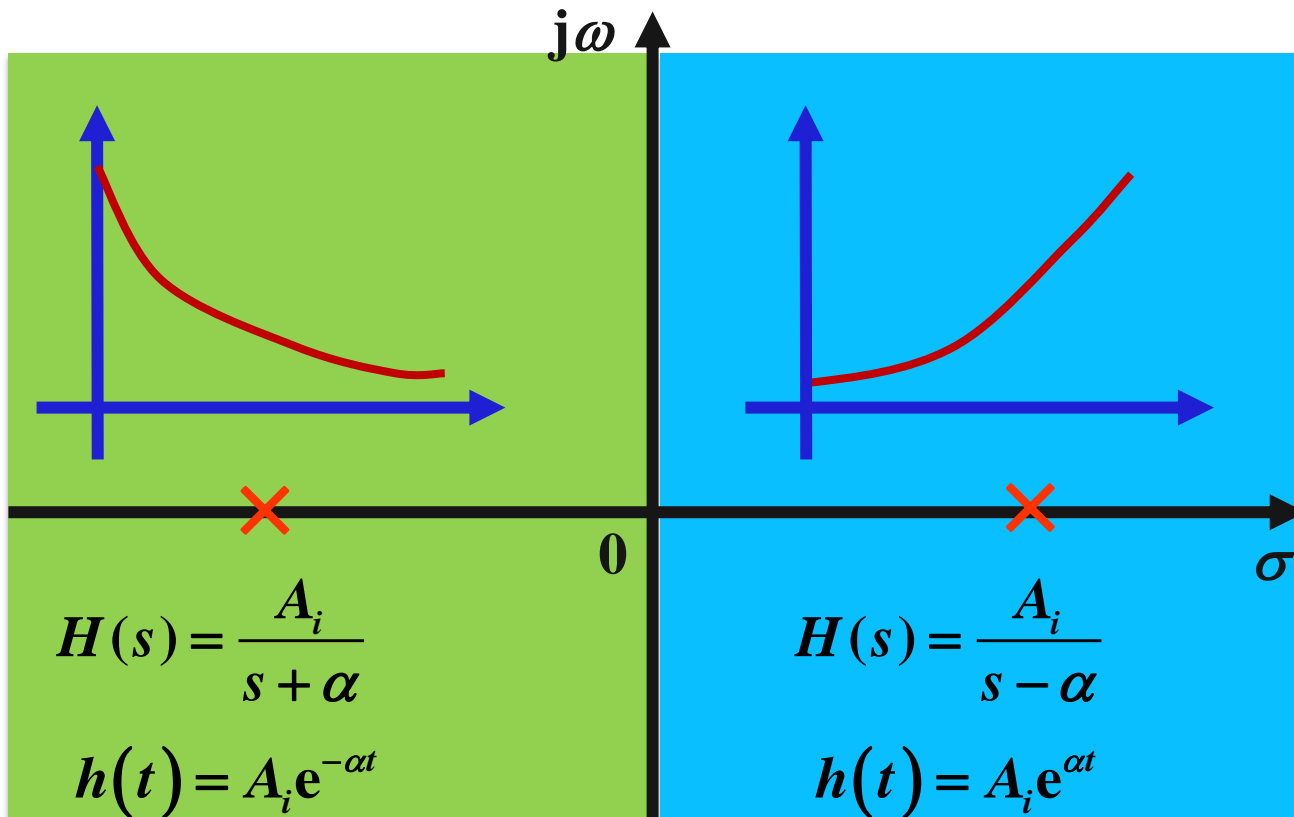
三、极点分布与冲激响应的关系



讨论

情况1: $H_i(s) = \frac{A_i}{s + \alpha} \quad \alpha > 0$

实轴上为一阶以上极点时， $h_i(t)$ 随着 $t \rightarrow \infty$ 的变化趋势与一阶极点情况相同。



稳定区域

不稳定区域



§ 14.4 网络函数

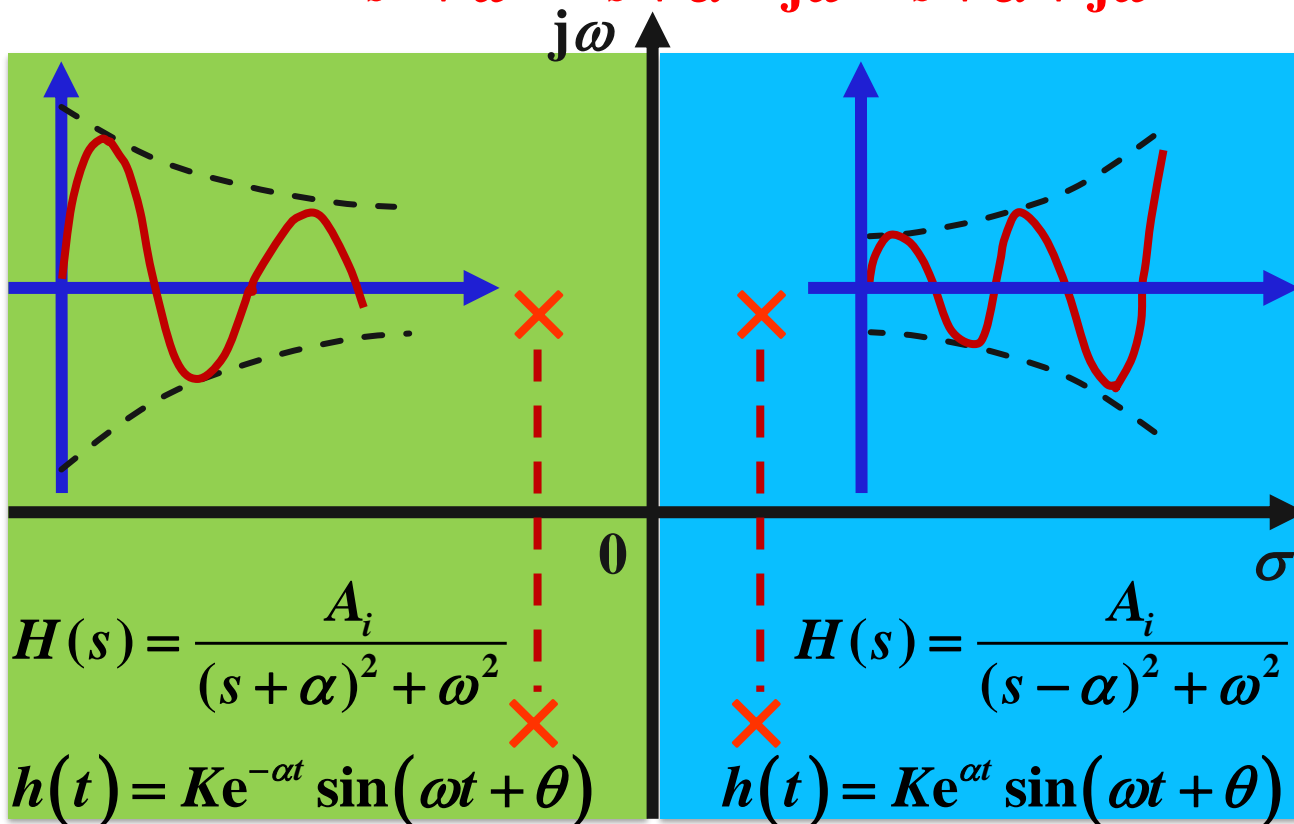
三、极点分布与冲激响应的关系

存在二阶及以上共轭复数极点时， $h_i(t)$ 随着 $t \rightarrow \infty$ 的变化趋势与一阶极点情况相同。



讨论

情况2: $H_i(s) = \frac{A_i}{s^2 + \omega^2} = \frac{A_i}{s + \alpha - j\omega} + \frac{A_i^*}{s + \alpha + j\omega} \quad \alpha > 0$



稳定区域

不稳定区域



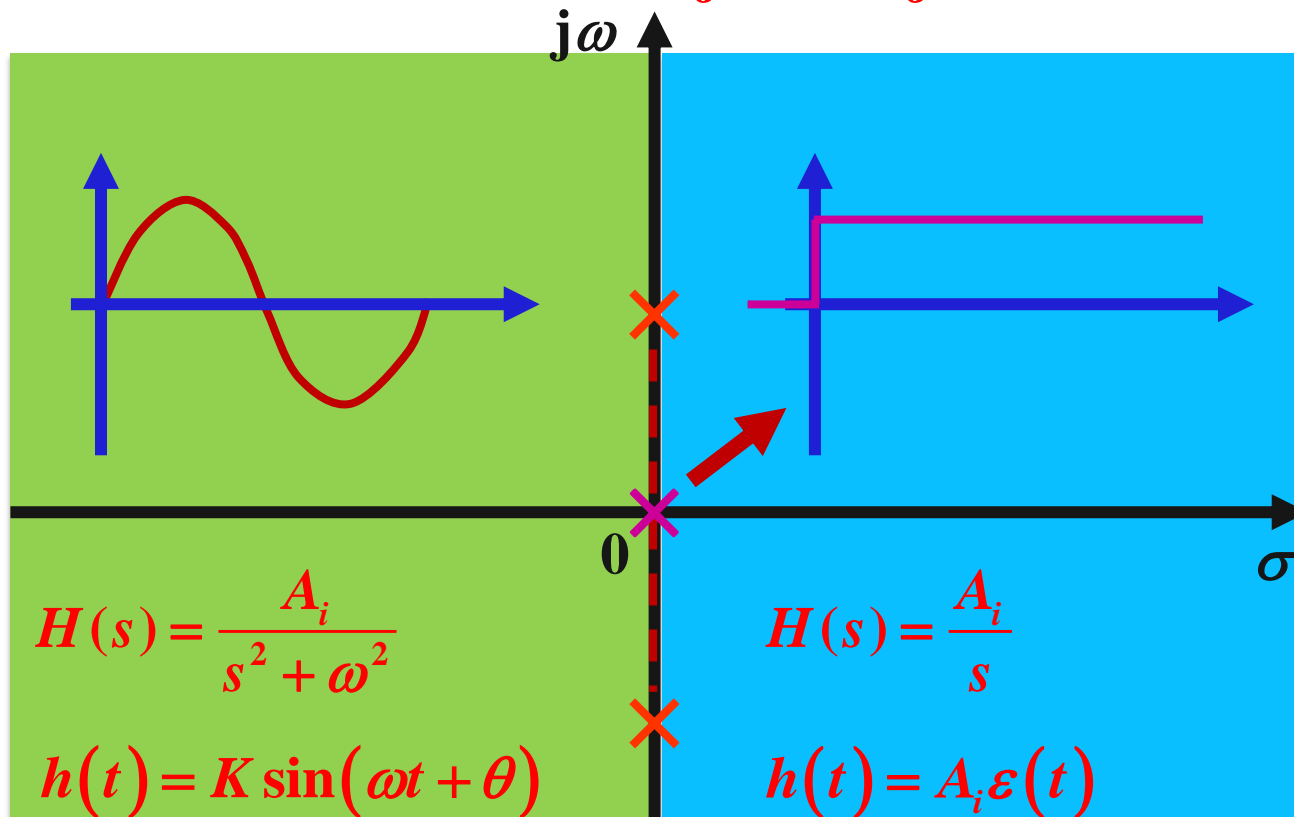
§ 14.4 网络函数

三、极点分布与冲激响应的关系

★ 讨论

情况3: $H_i(s) = \frac{A_i}{s^2 + \omega^2} = \frac{A_i}{s - j\omega} + \frac{A_i^*}{s - j\omega}$

虚轴上存在二阶及以上极点时， $h_i(t)$ 随着 $t \rightarrow \infty$ ，将趋近于无穷大。



临界稳定



§ 14.4 网络函数

三、极点分布与冲激响应的关系



稳定电路： 极点全部位于左半平面的电路。

临界稳定电路： 具有虚轴上一阶极点且其他极点全部位于左半平面的电路。

不稳定电路： 具有虚轴上二阶及以上极点或右半平面极点的电路。

一般情况下

假设 $D(s)$ 和 $Q(s)$ 具有单根

$$R(s) = H(s) \cdot E(s) = \frac{N(s)}{D(s)} \cdot \frac{P(s)}{Q(s)} = \left[\sum_{i=1}^n \frac{A_i}{s - p_i} \right] + \left[\sum_{j=1}^m \frac{B_j}{s - q_j} \right]$$

$$r(t) = \underbrace{\sum_{i=1}^n A_i e^{p_i t}}_{\text{自由分量}} + \underbrace{\sum_{j=1}^m B_j e^{q_j t}}_{\text{强迫分量}}$$

Diagram illustrating the relationship between the poles of $H(s)$ and the impulse response $r(t)$. The poles p_i (left half plane) are labeled "有关" (related) and correspond to the "自由分量" (free component). The poles q_j (right half plane) are labeled "有关" (related) and correspond to the "强迫分量" (forced component).

$H(s)$ 的极点分布 网络激励

